

DEM 3

SF1

d'étude des symétries et invariances donnent $\vec{E}'(r) = E(r) \hat{u}_r$

Pour ailleurs, on a l'équation de Maxwell-Gauss : $\operatorname{div} \vec{E}' = \begin{cases} \frac{\rho_0}{\epsilon_0} & \text{si } r < R \\ 0 & \text{si } r > R \end{cases}$

Or, ayant $\vec{E}'(r) = E(r) \hat{u}_r$, on a $\operatorname{div} \vec{E}' = \frac{1}{r^2} \frac{d(r^2 E)}{dr}$

Considérons dans un premier temps $r < R$:

$$\frac{1}{r^2} \frac{d(r^2 E)}{dr} = \frac{\rho_0}{\epsilon_0} \quad \text{ie} \quad d(r^2 E) = \frac{\rho_0}{\epsilon_0} r^2 dr$$

$$\text{On intègre entre } r=0 \text{ et } r : \quad r^2 E(r) - 0^2 E(0) = \frac{\rho_0}{\epsilon_0} \left(\frac{1}{3} r^3 - \frac{1}{3} 0 \right)$$

$$E(r) = \frac{\rho_0}{3\epsilon_0} r$$

$$\text{Si maintenant on considère } r > R : \quad \frac{1}{r^2} \frac{d(r^2 E)}{dr} = 0$$

$$\text{ie} \quad r^2 E(r) = \text{cste} \quad , \text{on} \quad E(R) = \frac{\rho_0}{3\epsilon_0} R$$

$$\text{Donc} \quad R^2 \frac{\rho_0}{3\epsilon_0} R = \text{cste} \quad \text{et} \quad E(r) = \frac{\rho_0}{3\epsilon_0 r^2} R^3$$

On retrouve bien les résultats du cours de EN 1 !!

SF2

d'équation de Maxwell-Gauss nous donne $\rho = \epsilon_0 \operatorname{div} \vec{E}$.

Donc • $r > a$ et $r < a$ $\operatorname{div} \vec{E} = \frac{dE}{dr} = 0$ i.e. $\rho = 0$

• $r \in [-a; a]$ $\operatorname{div} \vec{E} = \frac{dE}{dr} = \frac{\epsilon_0}{a}$ i.e. $\rho = \epsilon_0 \frac{\epsilon_0}{a}$.

Exercice 2 - principe ampéremétrique

1) On se place dans un repère cylindrique $(0, \vec{u}_r, \vec{u}_\theta, \vec{u}_z)$

le plan $(M, \vec{u}_r, \vec{u}_z)$ est plan de symétrie pour la distribution de courant.

$$\text{On a donc } \vec{B}(n) = B(n) \vec{u}_\theta$$

Par ailleurs, on a invariance de la distribution par rotation autour de l'axe $(0, \vec{u}_z)$. Donc

$$\vec{B}(n) = B(n, z) \vec{u}_\theta$$

Considérons Γ le cercle de centre M (projeté de M sur l'axe $(0, \vec{u}_z)$) de rayon r , de normale $+ \vec{u}_z$.

$$\text{On a } \oint_{\Gamma} \vec{B} \cdot d\vec{l} = B(n, z) 2\pi r$$

$$\text{et } I_{\text{enclai}} = \begin{cases} 0 & \text{si } \Pi \notin \text{intérieur du tore} \\ NI & \text{si } \Pi \in \text{intérieur du tore} \end{cases}$$

On a donc, par le théorème d'Ampère :

$$B(n, z) 2\pi r = \begin{cases} 0 & \text{si } \Pi \notin \text{tore} \\ \mu_0 NI & \text{si } \Pi \in \text{tore.} \end{cases}$$

au final

$$\boxed{\vec{B}(n) = \begin{cases} \vec{0} & \text{si } \Pi \notin \text{tore} \\ \frac{\mu_0 NI}{2\pi r} \vec{u}_\theta & \text{si } \Pi \in \text{tore.} \end{cases}}$$

$$2) \text{ On a } \Phi_{1\text{spire}} = \iint \vec{B} \cdot d\vec{S} = \iint \vec{B} \cdot dS \xrightarrow{\text{Mo}}$$

$$= \mu_0 \frac{NI}{2\pi} \iint \frac{1}{r} dr dz$$

$$= \mu_0 \frac{NI}{2\pi} a \left[\ln r \right]_{b-a/2}^{b+a/2}$$

$$\boxed{\Phi_{1\text{spire}} = \mu_0 \frac{NI}{2\pi} a \ln \left(\frac{b+a/2}{b-a/2} \right)}$$

et au final $\Phi_{\text{tot}} = N \Phi_{1\text{spire}} = \mu_0 \frac{N^2 I}{2\pi} a \ln \left(\frac{b+a/2}{b-a/2} \right)$

3) Le champ \vec{B}_{fil} créé par le fil sur l'axe (O_z) est

$$\vec{B}_{\text{fil}} = \frac{\mu_0 i}{2\pi r} \hat{z}$$

On a donc

$$\Phi_{1\text{spire fil}} = \iint_{\text{spire}} \vec{B}_{\text{fil}} \cdot d\vec{S} = \frac{\mu_0 i}{2\pi} \iint \frac{1}{r} dr dz$$

$$= \frac{\mu_0 i}{2\pi} a \ln \left(\frac{b+a/2}{b-a/2} \right)$$

Donc $\Phi_{\text{tot fil}} = N \Phi_{1\text{spire fil}} = \frac{\mu_0 N}{2\pi} i a \ln \left(\frac{b+a/2}{b-a/2} \right)$.

On constate que $\Phi_{\text{tot fil}} = \frac{i}{I} \times \frac{1}{N} \Phi_{\text{tot}}$

4) Si on a deux circuits traversés par les courants i_1 et i_2

Φ_{112} étant le flux du champ créé par le circuit 1 à travers le circuit 2 et Φ_{211} réciproquement.

On a par définition $\phi_{1/2} = M i_1$ et $\phi_{2/1} = N i_2$

Pour un circuit donné, $\phi = L i$ avec ϕ le flux propre
et l'intensité traversant
le circuit.

On a calculé $\phi_{tot/f2} = \mu_0 \frac{N i}{2\pi} \cdot \ln \left(\frac{b+a/2}{b-a/2} \right) = N i$

On en déduit

$$M = \mu_0 \frac{N}{2\pi} \cdot \ln \left(\frac{b+a/2}{b-a/2} \right)$$

Finalement, on a calculé $\phi_{tore} = \mu_0 \frac{N^2 I}{2\pi} \cdot \ln \left(\frac{b+a/2}{b-a/2} \right) = L I$

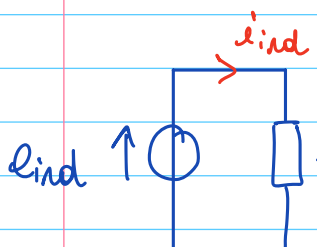
On en déduit

$$L = \mu_0 \frac{N^2}{2\pi} \cdot \ln \left(\frac{b+a/2}{b-a/2} \right)$$

On a donc $\frac{L}{M} = N$

On peut donc en déduire que si $N \gg 1$, on peut négliger la mutuelle devant le terme induction.

5) de tore est équivalent au circuit électrique :



D'après la loi de Faraday, $e_m = - \frac{d\phi}{dt}$

avec ϕ le flux du champ magnétique à travers le tore.

car le tore est parcourue par i_{ind} à

On a donc $\phi = \phi_{tore} + \phi_{tot/f2} = L i_{ind} + M i_H$

$$\text{Donc } i_{\text{ind}} = -L \frac{di_{\text{ind}}}{dt} - N \frac{di}{dt}$$

On a par ailleurs $i_{\text{ind}} = N i$

En passant en complexes: $N i_{\text{ind}} = -L j\omega i_{\text{ind}} - N j\omega i$

$$i_{\text{ind}} = -\frac{j\omega N}{N + j\omega L} i$$

$$6) \left| \frac{i_{\text{ind}}}{i} \right| = \frac{\omega M}{\sqrt{\omega^2 + \omega^2 L^2}} \underset{\omega \gg L}{\approx} \frac{\omega M}{\omega L} = \frac{M}{L} = \frac{1}{N}$$

$$7) \text{ On a donc si } \omega \gg L: |i_{\text{ind}}| = \frac{|i|}{N}$$

On a donc un courant secondaire lié au courant primaire et au nombre de spires.

Ce dispositif est pratique pour mesurer des grands courants car le courant qu'on mesure est i_{ind} , de le courant qu'on souhaite mesurer divisé par N : cela permet d'utiliser nos outils de mesure classiques.

Exercice 3 - Flocculation d'une suspension colloïdale

1) Le rayon d'une particule colloïdale est de 10^{-8} m à 10^{-6} m, ce qui est très grand devant le rayon d'un ion (\sim de l'ordre de celui d'un atome) à 10^{-10} m. On peut donc considérer les ions comme ponctuels.

💡 Pour justifier qu'on néglige quelque chose (ici l'extension spatiale des ions), il faut toujours faire une comparaison pour montrer devant quoi on peut négliger cette grandeur.

$$2) \text{ On a } f(r) = +zeN_+(r) - zeN_-(r) = zeN_0 \left(e^{-\frac{zeV(r)}{k_B T}} - e^{\frac{zeV(r)}{k_B T}} \right)$$

d'énoncé donne $|zeV(r)| \ll k_B T$ 💡 Dès qu'il y a un « ou » dans un énoncé, il y a TRÈS souvent un DL à faire.

$$\text{On a donc } e^{\pm \frac{zeV(r)}{k_B T}} \approx 1 \pm \frac{zeV(r)}{k_B T}$$

$$\text{or } f(r) = zeN_0 \left(1 - \frac{zeV(r)}{k_B T} - \left(1 + \frac{zeV(r)}{k_B T} \right) \right) = - \frac{2ze^2 N_0}{k_B T} V(r)$$

$$3) \text{ On a la loi de Poisson: } \Delta V = - \frac{f}{\epsilon_0}$$

$$\text{Donc ici } \frac{1}{r} \frac{d^2(rV)}{dr^2} = + \frac{2ze^2 N_0}{\epsilon_0 k_B T} V(r).$$

$$\text{i.e. } \frac{d^2(rV)}{dr^2} - \frac{2ze^2 N_0}{\epsilon_0 k_B T} rV = 0$$

En posant $u = rV$, on a $\frac{d^2u}{dr^2} - \frac{u}{\delta^2} = 0$ et $\delta = \sqrt{\frac{\epsilon_0 k_B T}{2ze^2 N_0}}$. 💡 On reconnaît une ED de même type que l'exercice de l'ailette (T3)

$$\text{On a le polynôme caractéristique: } u^2 - \frac{1}{\delta^2} = 0 \text{ ce } u = \pm \frac{1}{\delta}$$

$$\text{On a donc } u(r) = A e^{-r/\delta} + B e^{+r/\delta}, A, B \in \mathbb{R}$$

$$\text{Donc } V(r) = \frac{A}{r} e^{-r/\delta} + \frac{B}{r} e^{+r/\delta}$$

En choisissant le potentiel nul à l'infini, on a $B = 0$

$$\text{On a donc } V(r) = \frac{A}{r} e^{-r/\delta}$$

$$4) \text{ On a } \vec{E} = -\vec{g} \cdot \nabla \text{ et } \nabla V = -\frac{dV}{dr} \hat{u}_r$$

$$\text{Donc } E(r) = -\left(-\frac{A}{r^2} e^{-r/\delta} + -\frac{1}{\delta} \frac{A}{r} e^{-r/\delta}\right)$$

$$E(r) = \frac{A}{r^2} \left(1 + \frac{r}{\delta}\right) e^{-r/\delta}$$

Appliquons le théorème de Gauss sur la particule colloïdale (sphère de centre O et de rayon R) :

$$\oint_S \vec{E} \cdot d\vec{S} = \frac{Q}{\epsilon_0}$$

$$\frac{A}{\epsilon_0} \left(1 + \frac{R}{\delta}\right) e^{-R/\delta} \times 4\pi R^2 = \frac{Q}{\epsilon_0}$$

$$\text{D'où } A = K = \frac{Q}{4\pi\epsilon_0 \left(1 + \frac{R}{\delta}\right)} e^{R/\delta}$$

Au final

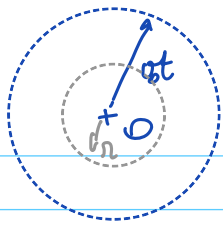
$$E(r) = \frac{Q}{4\pi\epsilon_0 r^2} \frac{1 + r/\delta}{1 + R/\delta} e^{(R-r)/\delta}$$

5) Plus on ajoute d'ion, plus N₀ augmente, plus S diminue.

Autrement dit, plus le champ électrique auquel est soumis le colloïde décroît rapidement (dans $e^{-r/\delta}$).

Alors plus on ajoute d'ion, moins le champ créé autour du colloïde en étale : les autres colloïdes seront donc moins facilement repoussés, ce qui est favorable à la flocculation.

Exercice 4 - Sphère radiactive



1) Si $r > r_{\text{rot}}$, $Q(r, t) = Q_0$

Si $r < r_{\text{rot}}$, $Q(r, t) = Q_0 - q$

où q est la charge entre r et r_{rot} , donc la charge émise depuis $t=0$ moins la charge toujours dans la sphère de rayon r , émise depuis $\frac{r}{r_0}$.

$$q = -e\alpha t + e\alpha \frac{r}{r_0}$$

Donc

$$Q(r, t) = \begin{cases} Q_0 & \text{si } r > r_{\text{rot}} \\ \end{cases}$$

$$\begin{cases} Q_0 + e\alpha t - e\alpha \frac{r}{r_0} & \text{si } r < r_{\text{rot}} \end{cases}$$

$$\text{si } r > r_{\text{rot}}$$

$$\text{si } r < r_{\text{rot}}$$

2) Pour $r > r_{\text{rot}}$, $\vec{j} = \vec{0}$ et $\rho = 0$

Pour $r < r_{\text{rot}}$, considérons la sphère de rayon r , on a

$$I = \iint \vec{j}(r, t) \cdot d\vec{s} = \iint j(r, t) \vec{n}_r \cdot dS \vec{n}_r = j(r, t) 4\pi r^2$$

j ne dépend que de r fixé sur S

Pour ailleurs $I = \frac{dQ}{dt}$ où dQ est la charge sortant de la sphère,

on a donc $I = -\frac{\partial Q(r, t)}{\partial t}$

On a donc $j(r, t) 4\pi r^2 = -\frac{\partial Q}{\partial t} = -e\alpha$

Donc $j(r, t) = -\frac{e\alpha}{4\pi r^2}$ d'où

$$\vec{j}(r, t) = -\frac{e\alpha}{4\pi r^2} \vec{n}_r$$

Enfin, $\vec{j}(r, t) = \rho(r, t) r_0 \vec{n}_r$

Donc

$$\rho(r, t) = -\frac{e\alpha}{4\pi r^2 r_0}$$

3) Tous les plans contenant \vec{r} et \vec{r}' sont plans de symétrie pour les distributions de charge et de courant.

Donc \vec{E} est porté par \vec{r}

et \vec{B} étant perpendiculaire à tous ces plans, on a $\vec{B} = \vec{0}$.

On a par ailleurs invariance des distributions par rotations autour de O

Donc

$$\vec{E}(r, t) = E(r, t) \hat{u}_r$$

On applique le théorème de Gauss à une sphère de centre O et de rayon r :

$$\oint_{\Sigma} \vec{E}(r, t) \cdot d\vec{s} = \frac{Q_{\Sigma}}{\epsilon_0}$$

$$\text{On a } \oint_{\Sigma} \vec{E}(r, t) \cdot d\vec{s} = 4\pi r^2 E(r, t)$$

$$\text{or } Q_{\Sigma} = Q(r, t)$$

Donc

$$E(r, t) = \frac{Q(r, t)}{\epsilon_0 4\pi r^2}$$

4) $\circ \operatorname{div} \vec{E} = \frac{Q}{\epsilon_0}$?

$$\operatorname{div} \vec{E} = \frac{1}{r^2} \times \frac{\partial}{\partial r} \left(\frac{Q(r, t)}{\epsilon_0 4\pi} \right) = \frac{1}{\epsilon_0 4\pi r^2} \times \left(-\frac{e \alpha}{r^2} \right) = -\frac{e \alpha}{\epsilon_0 r^3}$$

sin (rot)
sin (rot) ✓

$\circ \vec{n} \cdot \vec{E} = \vec{0} = - \frac{\partial \vec{B}}{\partial t}$ ✓

$\circ \operatorname{div} \vec{B} = \operatorname{div} (\vec{0}) = 0$ ✓

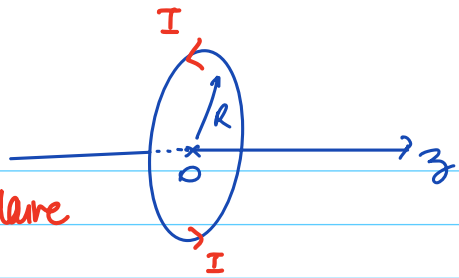
$\circ \vec{n} \cdot \vec{B} = \vec{n} \cdot \vec{0} = 0$

$$\text{et } \mu_0 \vec{j} + \epsilon_0 \mu_0 \frac{\partial \vec{E}}{\partial t} = \mu_0 \left(-\frac{e \alpha}{4\pi r^2} \hat{u}_r + \underbrace{\frac{1}{4\pi r^2} \frac{\partial Q}{\partial t} \hat{u}_r}_{= e \alpha} \right)$$

car Q est fixe donc \hat{u}_r aussi

$= e \alpha$

$= \vec{0}$ ✓



Exercice 5 - Calcul de \vec{B} créé par une spire circulaire

1) a) $\forall n \in (0_z)$, tous les plans contenant $0n$ sont plans d'antisymétrie de la distribution de courant.

$$\text{Donc } \vec{B}(n) = B(n) \vec{u}_z$$

Sur l'axe, $r=0$ et θ non défini, donc $B(n) = B(z)$

$$\text{Ainsi } \vec{B}(n) = B_0(z) \vec{u}_z$$

b) le plan $(0xy)$ est plan de symétrie pour la distribution de courant.

C'est donc un plan d'antisymétrie pour \vec{B} . Si $\vec{B} \perp (0ng)$, donc

$$\vec{B}_\perp(n) = \vec{B}_\perp(n) \quad \text{si } n \text{ n'est pas } (0ng)$$

$$\text{Ainsi } B(z) = B(-z) \quad B \text{ est donc paire.}$$

2) a) Soit $n \notin (0_z)$. Le plan $(n, \vec{u}_r, \vec{u}_z)$ est plan d'antisymétrie de la distribution, donc plan de symétrie pour \vec{B} .

$$\text{Donc } \vec{B} \in (n, \vec{u}_r, \vec{u}_z)$$

$$\text{on en déduit que } \vec{B}(n) = B_r(n) \vec{u}_r + B_z(n) \vec{u}_z$$

Pour ailleurs, la distribution est invariante par rotation autour de $(0z)$

$$\text{Donc } B(n) = B(n, z)$$

b) $\operatorname{div} \vec{B} = 0$

$$\text{et } \frac{1}{r} \frac{\partial(r B_r)}{\partial r} + \frac{\partial B_z}{\partial z} = 0$$

(il manque dans le sujet un cylindre)

$$\operatorname{div} \vec{B} = \frac{1}{r} \frac{\partial(r B_r)}{\partial r} + \frac{1}{r} \frac{\partial B_\theta}{\partial \theta} + \frac{\partial B_z}{\partial z}$$

Si $r \ll R$, on peut considérer $B_z(n, z) \approx B_0(z)$

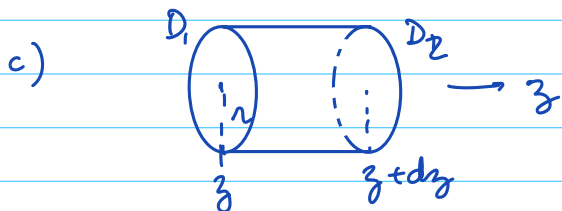
$$\frac{\partial(r B_r)}{\partial r} = -n \frac{dB_r}{dz} \rightarrow \text{Méthode}$$

$$n B_r(n, z) = -\frac{1}{2} n^2 \frac{dB_0}{dz} + \underbrace{c_0(z)}_{=0} \text{ par évaluation en } n=0$$

re

$$B_n(r, z) = -\frac{r}{2} \frac{dB_0}{dz}$$

D
pas
néglige



$$\oint \vec{B} \cdot d\vec{S} = \iint_{D_1} (B_r \vec{u}_r + B_\theta(z) \vec{u}_\theta) \cdot dS (-\vec{u}_\theta) \\ + \iint_{\text{cat}} (B_r \vec{u}_r + B_\theta(z) \vec{u}_\theta) \cdot dS \vec{u}_r \\ + \iint_{D_2} (B_r \vec{u}_r + B_\theta(z+dz) \vec{u}_\theta) \cdot dS \vec{u}_\theta \\ = B_\theta(z+dz) \pi r^2 - B_\theta(z) \pi r^2 + B_r(r, z) 2\pi r dz \\ = \pi r^2 \frac{dB_\theta}{dz} dz + B_r(r, z) 2\pi r dz$$

$\approx \oint \vec{B} \cdot d\vec{S} = 0$, donc $\pi r^2 \frac{dB_\theta}{dz} dz + B_r(r, z) 2\pi r dz = 0$

re

$$B(r, z) = -\frac{r}{2} \frac{dB_0}{dz}$$